

1. はじめに

界面電気現象を利用して、粒子の性質を調べることは水処理に限らず広く用いられてきた。中でも懸濁粒子については、頭微鏡電気泳動法によって泳動度が測定されている。電気泳動理論がまだ多くの問題を残しているとはいへ、貴重な資料を提供するこれらの測定は捨て難い。また、理論をさることながら、測定上の条件についても問題点が指摘されている。そこで、本報告は、少なくとも泳動度測定上で解決できる点があれば、できるだけ改良しようという意図をもって、ブリッジスセルを用いて実験的検討を行った結果得られた知見を報告する。

2. 問題点の整理

渡辺・西沢¹⁾によると、 ζ -電位測定上の問題として、①粒子の大きさ、粒子濃度の規定、②表面伝導に注意、③温度を一定に保つ、④電気浸透の補正、⑤測定値と駆動力の間に直線関係があることなどと指摘されている。①は、二重層の重畠と $k\alpha$ (k : イオン界面気の厚さの逆数, α : 粒子半径) に関する問題であり、②については、水処理で扱う水質では考慮が必要かないであろう。しかし、③~⑤については、実験的にチェックする必要がある。

3. 理論式の適用限界

現在提示されている式をまとめると次のようになる。

$$\zeta = \frac{m \pi \mu M}{\epsilon} ; \quad m = 4 \text{ (Smoluchowski 式)}, \quad m = 6 \text{ (Hückel 式)}, \quad m = \frac{1}{f} : f = f(k\alpha) \text{ (Henry の式)}, \quad m = 6/f : f = f(k\alpha, \zeta) \text{ (Overbeek の式)}$$

ζ : ζ -電位, μ : 粘性係数, M : 泳動度, ϵ : 誘電率

ここで、Henry の式中の f (Henry関数) は、粒子が棒状や球状か、あるいは粒子が電場と直交するか平行なのがにによって、 $0 \sim 1/4$ と変化するため、実際の運用については f の決定が問題として残る。また、Overbeek の式中の f (Overbeek関数) は、分散媒の付因の原子価によって 0.6~1.5 と変化するため、 $k\alpha < 0.01$, $k\alpha > 1000$ 以外には適用しづらい。又は、これだけの式があとと、それぞれの式の適用限界は明らかにしておかなければならぬが、Wiesema, Loeb, Overbeek²⁾ ならば、滲透現象と緩和現象の双方を考えて、泳動理論について研究を重ね、複雑な方程式を電子計算機で数値的に解析して、各々の式の適用限界を求めた。そこで、この結果を参考に、Smoluchowski と Hückel の式の適用限界を示すと図-1 のようになる。ただし、分散媒の水温は 20°C と仮定している。この図の利用例を示すと次のようになる。測定の結果、水温 19°C, 分散媒 $KCl 2.0 \times 10^{-3} mol/l$, 電流 0.40 mA, 鹿導度 $260 \mu S/cm$, 粒子平均径 $1.1 \mu m$ 泳動速度 $9.84 \mu m/s$ を得たとする。 $k\alpha = 161.2$, 泳動度 $M = 1.343 \mu m^2/V/cm$ となる。図-1 では点(①)は相当し、この場合、Smoluchowski の式を用いて ζ -電位を計算することになる。また、図からもわかるように、 $k\alpha = 5$ においては、 $M < 0.1 \mu m^2/V/cm$ (後に Smoluchowski の式で計算すると $< 1.4 mV$, Hückel の式で $\zeta < 2.1 mV$) となり、実際には、 $k\alpha = 5$ 付近では、これらの式は適用できないことを認識すべきである。

4. セル内の水温

水温は試料の粘性係数、電導度、誘電率などに關係するために、測定中におけるセル内水温の変化は、泳動度において ζ -電位に大きく影響を及ぼすことがある。したがて、ここでいは、照明・気温・セル熱を水温変化の外的要因としてえらび、水温変化を

1) 渡辺・西沢: DENKI KAGAKU, 40, 1, 1972. 2) Wiesema, Loeb, Overbeek: J. Colloid Sci., 22, 78, 1966.

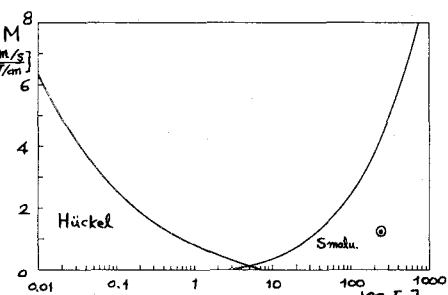


図-1 Smoluchowski と Hückel の適用限界 (20°C)

調べた。図-2は、各種の水温変化防止策を講じた結果をまとめて示したものである。ただし、この時の測定条件は、光源電圧8V、セル内電流0mA、水温変化は10分間照射後である。どの防止策は、熱線カットフィルタや暗視野コンデンサーであるが、図からもわかるように、それらの効果は認められまい。光源電圧は8V程度で十分な照明が得られたが、これによる水温への影響はほとんどなく、かえって、水温と気温（初期水温と10分間の平均気温）の差が水温変化に影響を与えるようである。また、図-3は、ジール熱によるセル内の水温変化を示したものである。なお、この時の測定条件は、光源電圧0mV、引加電流電圧は0~300V、0~30mA、水温と気温の差0.1~5.2℃、測定時間10分である。ジール熱Q(J)は、 $Q = V \cdot I \cdot t$ (V:電圧(V), I:電流(A), t:時間(s))で求められる。図より、1000J以上になると、セル内の水温は直線的に増加することができる。つまり、泳動度を測定する場合には、10分間で500J以下すばやく0.8W(ワット)以下で行なうことが、水温変化を抑える条件であろう。一方、図-4は、水温と気温の差とジール熱の効果を合わせて示したものである。図からジール熱が500J以下であると、図-2で示した水温と気温の差がセル内水温変化を支配するようである。500~1000Jの領域は、水温と気温差およびジール熱のどれぞれの影響を受ける遷移域であろうか。結局、セル内の水温変化を防止するには、たとえば恒温室で10分間のジール熱が500J以下に制御して測定すればよい。

5. 暗視野効果

理論的に求められる静止帶の位置は、暗視野による理論どおりの水流の発生が確認されたことを意味がある。図-5は、粒子の移動速度がセル中心に対称で $(h/b)^2$ (h :セル中心からの距離, b :セル厚の1/2) に対して直線性があるかどうかを確かめるために行った結果を示したものである。他の図は省略してあるが、試料濃度が高い場合 (100mg/l以上) は、セル中心より下側では、図に示すように直線性がくずれ、したがって対称ではない。これは、セル底面への試料の沈着が考えられるが、このほか傾向は他の高濃度の場合も観測された。それにに対し、低濃度においては直線性は良く、対称性も十分と判断された。ただし、希薄にすると、粒子数が少なくて、測定時間が長くなるので避け方がよい。今回の結果から、下部の静止帶での測定は直線性、対称性の点から20mg/l程度以下の濃度を中心とするべしであり、できれば上部静止帶での測定が無難であろう。

また、この点に廻りし、焦点深度は大切で、接眼レンズ×10、対物レンズ×10(用眼数0.25)×20(0.40)を用いた場合、前者でだいたい25~20μm、後者で8.5~6.6μmとなる。この差はデータのバラツキにつながらる(図省略)ので留意すべきである。なお、本実験は、当時東北大学桂島剛、草刈昭雄、島田次夫の諸君によって行われたことを付記し、感謝する。

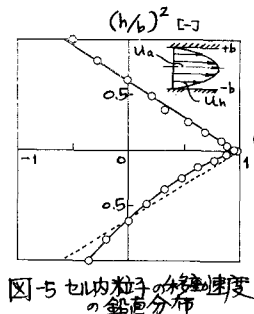


図-5 セル内の粒子の移動速度の鉛直分布

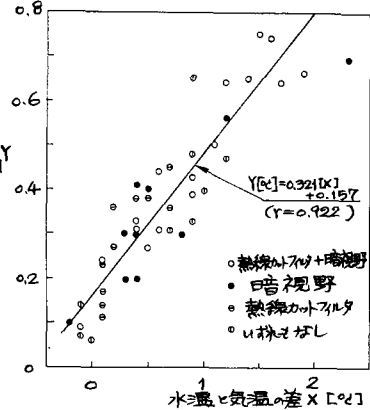


図-2 热線カットフィルタ・暗視野の効果

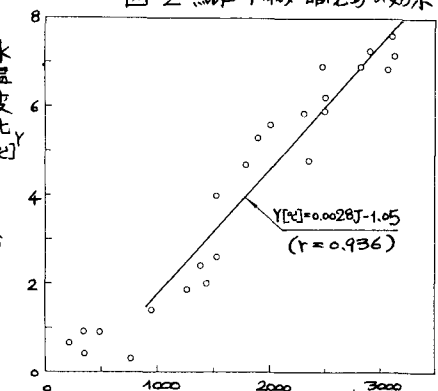


図-3 ジール熱によるセル内の水温変化

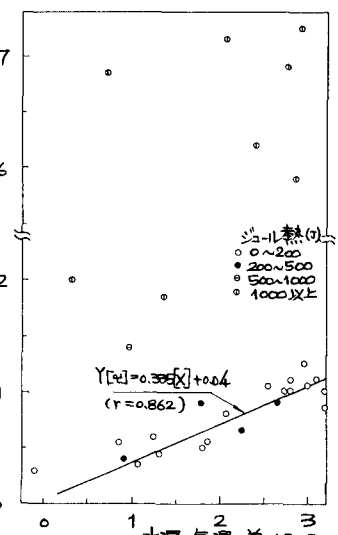


図-4 セル内の水温変化